

RF 대역에서의 반도체 package 특성 측정에 관한 연구

박현일, 김기혁, 황성우
고려대학교 전자공학과 Nano-Electronics Lab.
전화 : 02-927-6114 / 핸드폰 : 011-890-7266

A Study on Measurement of Semiconductor Package in RF Regime

Hyunil Park, Ki Hyuk Kim, Sung Woo Hwang
Dept. of Electronics Engineering, Korea University
E-mail : portege@mail.korea.ac.kr

Abstract

The electrical characteristics of MQFP packages have been measured in RF regime. The s-parameter of the lead frame has been measured using the test fixture on which the de-capped package was mounted. A simple lumped equivalent circuit modeling of the lead frame and the test fixture can provide reasonable model parameters up to the frequency of 200 MHz.

I. 서론

최근의 silicon 반도체 chip들은 digital과 analog을 막론하고 그 동작속도가 수백 MHz에서 수 GHz의 RF대역에 다다르고 있다. 이러한 RF대역에서는 package의 inductance 및 capacitance의 기생성분을 정확히 분석하여 회로 시뮬레이션 (SPICE)에 포함시켜야 할 필요성이 대두되고 있다.

Package는 반도체 공정에서 제작된 chip을

보호하며, 그 chip의 기능이 최대한 발휘될 수 있도록 설계되어야함은 물론 저가이어야 하므로, 본 논문에서는 현재 기능과 가격 면에서 반도체 제조회사들이 가장 많이 사용하는 QFP-type 중 그 RF 특성이 가장 좋지 않은 것으로 알려진 MQFP100 package에 대해서 연구하였다. Package의 모양에 적합한 RF test fixture를 제작하고 각각의 lead frame을 vector network analyzer (VNA)를 사용하여 scattering parameter (S-파라미터)를 측정한 후, 측정된 S-파라미터를 사용하여 SPICE 시뮬레이션에 사용할 수 있는 각 lead frame의 self-capacitance, coupling capacitance, self-inductance, mutual inductance를 추출하였다.

II. Test fixture 제작 및 측정 방법

2.1 Test fixture 제작

Package 내부의 lead frame을 RF적으로 측정 set-up에 연결시키기 위하여 RF test fixture

를 제작하고 de-capping된 package를 제작된 test fixture에 mount하였다. 그림 1은 측정에 사용된 chip이 mount된 후의 test fixture의 사진이고 그림 2의 (a)와 (b)는 각각 de-capping한 package의 확대사진과 test fixture에 연결된 package의 모식도이다.

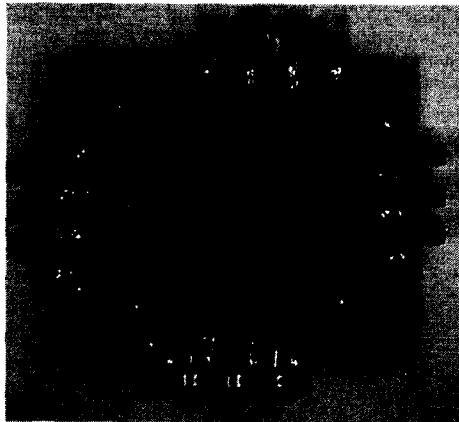


그림 1 측정을 위한 test fixture 사진



그림 2(a) de-capping된 package의 확대사진

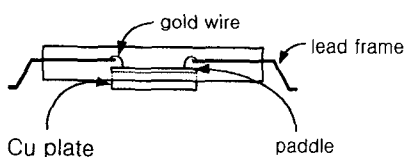


그림 2(b) de-capping된 package의 schematic

Test fixture는 3개의 인접한 lead frame들을 4쌍 측정할 수 있는 구조이다. 각 쌍에서 양쪽

의 lead frame에 연결된 line들을 50Ω 으로 termination시키고 가운데 lead frame의 S-파라미터를 측정함으로써 서로 인접한 lead frame들의 coupling capacitance와 inductance의 효과가 데이터에 반영될 수 있도록 하였다. 또한 두 개의 인접한 lead frame간의 two-port 측정도 가능하다. 측정 configuration은 paddle이 paddle 밑의 ground plane에 납땜된 short 구조와 paddle과 ground plane의 capacitive couple된 open 구조의 두 가지이다. Package의 외부로 돌출된 lead frame들은 RF 기판의 50Ω line에 직접 납땜으로 연결되고, de-capping된 package의 양쪽에 있는 lead frame의 반대편 끝은 gold wire를 통하여 paddle (package 가운데의 금속판)에 In bonding을 통하여 연결된다.

RF 기판은 고주파 감쇄가 적은 Teflon 기판을 사용하였다. Rogers Corporation의 RT/Duroid 6010LM을 사용하였고, 이 제품의 상대 유전율은 10.2, 두께는 10 mil (0.254 mm)이고, cladding layer는 0.5 Oz (0.018 mm)이다. 이 기판을 사용할 때의 50Ω transmission line의 폭은 다음의 식으로 계산할 때 약 0.219 mm이다 [1]. 그림 3은 Teflon 기판의 단면도이다.

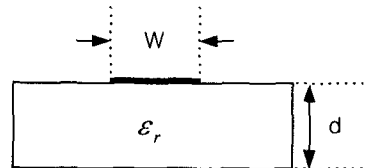


그림 3 Teflon 기판의 단면도

$$\frac{W}{d} = \begin{cases} \frac{8\epsilon^4}{\epsilon_r^{2A}-2} & \text{for } \frac{W}{d} < 2 \\ \frac{2}{\pi} \left[B - 1 \ln(2B-1) + \frac{\epsilon_r-1}{2\epsilon_r} \left\{ \ln(B-1) + 0.39 - \frac{0.61}{\epsilon_r} \right\} \right] & \text{for } \frac{W}{d} > 2 \end{cases}$$

$$A = \frac{Z_0}{60} \sqrt{\frac{\epsilon_r+1}{2}} + \frac{\epsilon_r-1}{\epsilon_r+1} \left(0.23 + \frac{0.11}{\epsilon_r} \right)$$

$$B = \frac{377\pi}{2Z_0\sqrt{\epsilon_r}}$$

식에서 W와 d는 각각 위 그림 3에 따른다.

III. Modeling

그림 4의 (a)와 (b)는 open 및 short 구조의 one-port 측정시의 test fixture와 package lead frame을 가장 간단한 lumped 등가회로로 표시한 그림이다.

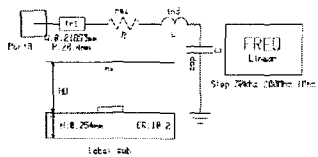


그림 4(a) Open 구조의 lumped 등가회로 (30KHz~200MHz)

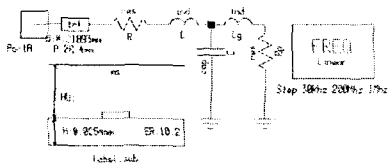


그림 4(b) Short 구조의 lumped 등가회로 (30KHz~200MHz)

Port A는 S-파라미터를 측정하는 lead frame 이 연결된 port이다. 여기서 R, L, C, Lg, TL은 각각 lead frame의 resistance, self-inductance, self-capacitance, paddle의 gold-wire inductance, 50 Ω transmission line을 표시한다.

IV. 실험결과와 해석

그림 5의 (a)와 (b)는 open과 short구조의 S-파라미터를 200 MHz까지 측정한 실험결과를 보여주고 있다 (solid line). 그림 3의 등가회로에서 그림 4의 실험결과를 가장 정확하게 재생할

수 있는 파라미터 값들을 수치 해석적으로 찾은 결과가 표 1에 정리되어 있고 이를 파라미터를 이용하여 구한 S-파라미터가 그림 5의 (a)와 (b)에 점선으로 그려져 있다. 계산결과는 실험결과를 잘 재생하고 있으며, 여기서 구한 파라미터 값들은 (표 1) 비슷한 package의 3D field 시뮬레이션 결과와 잘 일치함을 확인할 수 있다 [2].

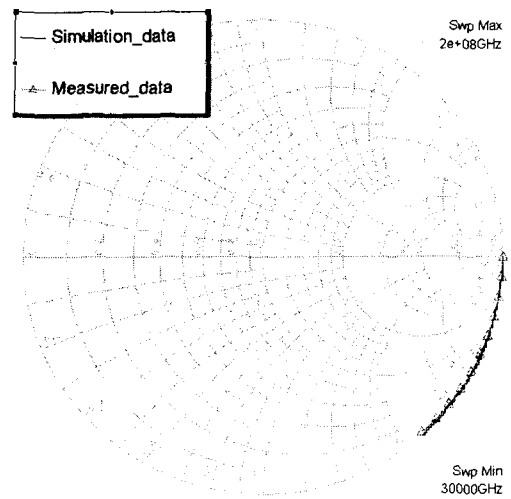


그림 5(a) Open 구조 측정결과

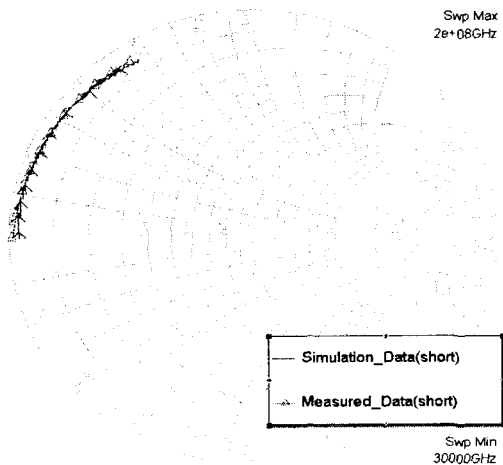


그림 5(b) Short 구조 측정결과

모델 파라미터	추출 값
R	0.256[Ω]
L	3.11[nH]
C	2.02[pF]
Lg	7.193[nH]

표 1. 각 모델 파라미터의 추출 값

V. 결론 및 향후 연구계획

MQFP package의 lead frame 특성을 RF 영역에서 측정하였다. 측정된 S-파라미터 값들은 200 MHz까지의 주파수 영역에서 가장 간단한 lumped 모델로 설명이 가능하였으며, 실험 데이터로부터 추출된 모델 파라미터 값들도 3D 시뮬레이션 결과와 잘 일치함을 확인할 수 있었다. 본 연구의 MQFP package는 2 GHz까지 측정이 되었는데 그림 4의 간단한 등가모델로는 높은 주파수에서 해석이 불가능하였다. 앞으로의 연구 과제는 고주파의 측정결과를 좀 더 refine된 모델링을 하는 것이라 하겠다. 본 연구에서는 MQFP를 측정하였지만 좀 더 고성능 package인 TQFP등에도 같은 방법이 적용될 수 있다.

ation of Electronic Packaging., Dept. of Information Technology, Univ. of Gent.

- [4] Brian Young, "Return Path Inductance in Measurements of Package Inductance Matrixes." IEEE Trans. Comp., Packaging Technol., vol. 20, NO. 1, Feb 1997.
- [5] B. Young and A. Sparkman., "Measurement of package inductance and capacitance matrices." IEEE Trans. Comp., Packag., Manufact. Technol., vol. 19, Feb 1996.
- [6] C. T. Tsai, and Wai-Yeung Yip, "An Experimental Technique for Full Package Inductance Matrix Characterization." IEEE Trans. Comp., Packag., Manufact., Technol., vol. 19, No. 2, May 1996.

참고문헌(또는 Reference)

- [1] David M. Pozar, *Microwave Engineering*. 2nd ed., New York U.S.A., John Wiley & Sons.
- [2] Ki Hyuk Kim et al., "Full Software Analysis and Impedance Matching of Radio Frequency CMOS Integrated Circuits," IEEE Trans. Comp., Packaging Technol. vol. 23, NO. 1, Mar 2000.
- [3] Luc Martens, *High-Frequency Characteriz-*